

## تخمین قطر ستون هوای مرکزی در یک هیدروسیکلون با استفاده از روش دینامیک سیالات محاسباتی

محسن کریمی<sup>۱</sup>؛ علی دهقانی<sup>۲\*</sup>؛ شهرام طالبی<sup>۳</sup>

۱- کارشناس ارشد فرآوری مواد معدنی، دانشکده مهندسی معدن و متالورژی، دانشگاه یزد، Email: karimimp@gmail.com

۲- استادیار دانشکده مهندسی معدن و متالورژی، دانشگاه یزد، Email: a.dehghani@yazduni.ac.ir

۳- استادیار گروه مهندسی مکانیک، دانشکده مهندسی، دانشگاه یزد، Email: talebi\_s@yazduni.ac.ir

(دریافت ۲۶ مرداد ۱۳۸۸، پذیرش ۱۱ مرداد ۱۳۸۹)

### چکیده

یک ویژگی جریان در هیدروسیکلون، تشکیل ستون هوای مرکزی است. جریان شدید چرخشی، ناحیه کم فشاری را در مرکز به وجود می‌آورد که معمولاً به تشکیل سطح آزاد مایع در حال دوران، به شکل استوانه منجر شده و در تمام طول هیدروسیکلون برقرار است. این ستون هوای بر کارایی جدایش تاثیر گذار است. در این پژوهش، برای تخمین قطر ستون هوای مرکزی از نقاط کم فشار در داخل هیدروسیکلون استفاده شده است. به منظور تعیین توزیع فشار در داخل هیدروسیکلون، از روش دینامیک سیالات محاسباتی (CFD) استفاده شده است. از سه مدل جریان آشفته k-ε RNG، RSM و LES در غالب نرم افزار Fluent برای تخمین قطر ستون هوای مرکزی استفاده شده است. برای تعیین قطر ستون هوای مرکزی از سه صفحه: یک صفحه در قسمت استوانهای و دو صفحه دیگر در بخش مخروطی هیدروسیکلون استفاده شده است. نتایج نشان داده‌اند که: مدل RNG k-ε در تخمین کارایی هیدروسیکلون چندان موفقیت آمیز نبوده است. مدل آشفته LES در بیش بینی سرعت‌ها در داخل هیدروسیکلون دقیق بوده است. از بین سه مدل انتخابی، مدل آشفته RSM در تخمین قطر ستون هوای مرکزی در مقایسه با دو مدل دیگر دارای دقت بیشتری است.

### کلمات کلیدی

هیدروسیکلون، دینامیک سیالات محاسباتی، قطر ستون هوای مرکزی

\* نویسنده مسئول و عهده‌دار مکاتبات

## ۱- مقدمه

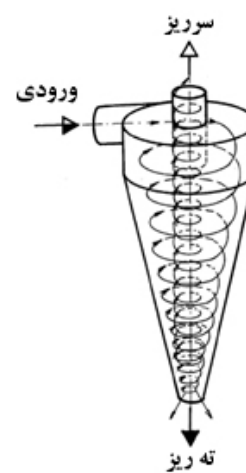
حلقوی است. در نتیجه تخمین صحیح این قطر منجر به بررسی دقیق تر کارآیی هیدروسیکلون می شود.

روش دینامیک سیالات محاسباتی<sup>۲</sup> می تواند برای شبیه سازی جریان در داخل هیدروسیکلون مورد استفاده قرار گیرد. حل عددی معادلات ناویر-استوکس اساس کار در CFD است.

هسیه<sup>۳</sup> و راجمانی<sup>۴</sup>، موندرن<sup>۵</sup> و همکاران [۵] و راجمانی و دوولالپالی<sup>۶</sup>، از مدل طول اختلاط پرانتل برای مدل کردن آشفتگی<sup>۷</sup> در هیدروسیکلون هایی با قطرهای ۷۵ و ۲۵۰ میلی متر استفاده کردند. در این تحقیقات ستون هوای مرکزی در نظر گرفته نشده است. دیاکووسکی<sup>۸</sup> و ویلیامز<sup>۹</sup> [۷] نشان داده اند که ستون هوای مرکزی در طول هیدروسیکلون ثابت نیست، اما دارای طبیعت نوسانی است. در این کار از ترکیب مدل آشفتگی k-ε و معادله ای برای تنش رینولدز استفاده شده است و به بررسی ویژگی های ناهمسانگردی آشفتگی در جریان هیدروسیکلون پرداخته شده است. در تحقیقات اخیر ستون هوای مرکزی به صورت یک سطح استوانه ای ثابت مدل شده است. راجمانی و دلگادیلو<sup>۱۰</sup> [۸] به مقایسه مدل های آشفتگی در جریان دو فازی هیدروسیکلون پرداخته اند. در کار آن ها برای تخمین قطر ستون هوای مرکزی از الگوریتم VOF<sup>۱۱</sup> (الگوریتمی برای تخمین سطح مشترک بین گاز و مایع) استفاده شده است. گوپتا<sup>۱۲</sup> و همکاران [۹] با حذف ستون هوای مرکزی از طریق وارد کردن یک میله به بررسی ویژگی های افت فشار در یک هیدروسیکلون پرداخته اند. در برخی از تحقیقات ذکر شده قطر ستون هوا به عنوان یکی از فرضیات مسئله در نظر گرفته شده است. در حالیکه در برخی دیگر، از نقاط کم فشار استفاده شده است و یا به طور کلی نقش این ستون، از حل مسئله حذف شده است. در مطالعه حاضر اساس تخمین بر مبنای توزیع فشار در داخل هیدروسیکلون است. در این کار از نرم افزار FLUENT برای شبیه سازی استفاده شده است. این نرم افزار با زبان برنامه نویسی C نوشته شده است و برای مدل کردن جریان سیال و انتقال حرارت در هندسه های پیچیده است. به طور کلی مراحل حل یک مسئله در این نرم افزار با وارد کردن مش به نرم افزار شروع شده، سپس شیوه محاسباتی و فرمول بندی حل انجام می شود، در مرحله بعد خواص مواد و شرایط مرزی تعیین می شوند و با مقدار دهی اولیه به میدان جریان انجام محاسبات شروع خواهد شد. و در مرحله آخر نتایج ذخیره می شوند.

در پژوهش حاضر، توزیع فشار در یک هیدروسیکلون، با کمک سه مدل آشفتگی k-ε<sup>۱۲</sup>، RNG<sup>۱۳</sup> و LES<sup>۱۴</sup> در نرم افزار

جاداسازی در هیدروسیکلون، بر مبنای تاثیر نیروهای گریز از مرکز و مقاومت سیال که در بدنه این دستگاه تولید می شوند، استوار است. هیدروسیکلون دارای بخش دورانی نیست و جریان چرخشی لازم توسط پمپاژ سیال به صورت مماسی درون بدنه استوانه-مخروطی ساکن تولید می شود. به جز در ناحیه ورودی، حرکت سیال در درون هیدروسیکلون تقارن دایره ای دارد و به طور شماتیک در شکل ۱ نشان داده شده است [۱].



شکل ۱: اجزای اصلی هیدروسیکلون و چگونگی عملکرد آن [۱]

ذرات خوارک تحت تاثیر نیروی گریز از مرکز و مقاومت سیال قرار می گیرند. ذرات ریز یا سبک و میزان زیادی آب با کمک ستون هوایی که در بخش مرکزی تشکیل می شود، به سمت محور حرکت کرده و از سرریز خارج می شوند. ذرات درشت یا چگال به سمت کناره ها حرکت می کنند و همراه با مقداری آب، از جریان رو به پایین تهریز، خارج می شوند [۲].

ویژگی مهم جریان در هیدروسیکلون، تشکیل ستون هوای مرکزی<sup>۱</sup> است. جریان قوی چرخشی، ناحیه کم فشاری را در مرکز به وجود می آورد که معمولاً به تشکیل سطح آزاد مایع در حال دوران منجر شده و به شکل استوانه است که در تمام طول سیکلون برقرار است. اگر یکی از خروجی ها یا هر دو مستقیماً به هوای بیرون متصل شوند، ستون پر از هوا می شود. هرگونه گاز پخش شده یا حتی حل شده موجود در سیال ورودی نیز به این ستون مرکزی وارد می شود [۳]. ستون هوای مرکزی در فرآیند جدایش ذرات در داخل هیدروسیکلون اثر بسیاری دارد و در صورتی که این ستون به صورت مناسبی مستقیم بوده و قطر در آن در طول طول سیکلون ثابت باشد بیانگر پایداری جریان

$$\tau_{ij}^{Re} = \mu_t \left( \frac{\partial \langle u_i \rangle}{\partial x_j} + \frac{\partial \langle u_j \rangle}{\partial x_i} \right) \quad (4)$$

که در این رابطه  $\mu_t$  ویسکوزیته آشفتگی است، که به طور مستقیم با انرژی جنبشی آشفتگی  $k$  و نرخ اتلاف  $\epsilon$ ، مطابق رابطه ۵ مرتبط است:

$$\mu_t = \rho C_\mu \frac{k^2}{\epsilon} \quad (5)$$

انرژی آشفتگی و نرخ اتلاف از معادلات انتقال زیر تعیین می‌شوند [۸].

$$\frac{\partial}{\partial t} (\rho k) + \frac{\partial}{\partial x_i} (\rho k u_i) = \frac{\partial}{\partial x_j} (\alpha_{k\mu_{eff}} \frac{\partial k}{\partial x_j}) + 2\mu_t S_{ij} S_{ij} - \rho \epsilon \quad (6)$$

$$\frac{\partial}{\partial t} (\rho \epsilon) + \frac{\partial}{\partial x_i} (\rho \epsilon u_i) = \frac{\partial}{\partial x_j} \left( \alpha_\epsilon \mu_{eff} \frac{\partial \epsilon}{\partial x_j} \right) + C_{1\epsilon} \frac{\epsilon}{k} (2\mu_t S_{ij} S_{ij}) - C_{2\epsilon} \rho \frac{\epsilon^2}{k} - \frac{C_\mu \rho \eta^3 (1-\eta/\eta_0)}{1+\beta\eta^3} \frac{\epsilon^2}{k} \quad (7)$$

ثابت‌ها عبارتند از  $C_{1\epsilon} = 1/42$ ،  $C_{2\epsilon} = 1/68$ ،  $C_{1\mu} = 1/42$  و  $C_\mu = 0.0845$ .  $\mu_{eff}$  ویسکوزیته موثر است که توسط رابطه دیفرانسیلی ۸ به دست می‌آید.

$$d \left( \frac{\rho^2 k}{\epsilon \mu} \right) = 1.72 \frac{\bar{v}}{\sqrt{\bar{v}^3 - 1 + C}} dv \quad (8)$$

که در این رابطه  $\bar{v} = \frac{\mu_{eff}}{\mu}$  و ثابتی برابر ۱۰۰ است. نرخ کرنش میانگین،  $S_{ij}$ ، در رابطه ۹ بیان شده است.

$$S_{ij} = \frac{1}{2} \left( \frac{\partial u_i}{\partial x_j} + \frac{\partial u_j}{\partial x_i} \right) \quad (9)$$

تفاوت اصلی بین مدل  $k-\epsilon$  و مدل  $RNG$   $k-\epsilon$  وجود قسمت  $\frac{C_\mu \rho \eta^3 (1-\eta/\eta_0)}{1+\beta\eta^3} \frac{\epsilon^2}{k}$  در رابطه ۷ است. مدل  $RNG$  در بیان اثرات کرنش‌های زیاد و انحنای خطوط جریان نسبت به مدل  $k-\epsilon$  دقیق‌تر است و همین مسئله این مدل را برای حل مسئله هیدروسیکلون مناسب‌تر می‌نمایاند.

FLUENT تعیین شده است. به منظور تخمین قطر ستون هوای مرکزی از نقاط کم فشار استفاده شده است. نتایج حاصل با نتایج کارهای تجربی که از منبع [۱۰] استخراج شده، اعتبار سنجدی شده است.

## ۲- معادلات حاکم

به منظور مدل کردن جریان سیال در هر سیستمی، به دست آوردن معادلات حاکم بر آن سیستم مورد نیاز است. موازنۀ جرم و موازنۀ گشتاور قسمت‌های اصلی این مدل سازی است. به علاوه، مدل‌هایی که برای ارزیابی آشفتگی به کار می‌روند. با فرض سیال تراکم‌ناپذیر، معادلات حاکم متوسط-گیری شده و به صورت زیر خواهد شد:

$$u = \langle u \rangle + u' \quad (1)$$

$$\frac{\partial \rho}{\partial t} + \rho \frac{\partial \langle u_i \rangle}{\partial x_i} = 0 \quad (2)$$

$$\frac{\partial \langle u_i u_j \rangle}{\partial t} + \frac{\partial \langle \rho u_i u_j \rangle}{\partial x_j} = - \frac{\partial \langle P \rangle}{\partial x_i} + \frac{\partial}{\partial x_j} \left( \mu \frac{\partial \langle u_i \rangle}{\partial x_j} \right) + \frac{\partial}{\partial x_j} (\tau_{ij}^{Re}) + \rho g_i \quad (3)$$

در روابط بالا  $\langle u \rangle$  معرف سرعت متوسط،  $u'$  مولفه نوسانی سرعت،  $\rho$  دانسیته سیال،  $P$  فشار،  $\mu$  ویسکوزیته سیال و  $\tau_{ij}^{Re}$  معرف تنش‌های رینولدز است که به کمک معادلات آشفتگی تعیین خواهد شد [۸].

## ۳- مدل‌های آشفتگی

مدل‌های آشفتگی مختلفی برای بیان جمله تنش‌های رینولدز،  $\tau_{ij}^{Re}$  وجود دارد. در این مقاله از بین مدل‌های آشفتگی موجود، مدل  $RNG$   $k-\epsilon$  مدل تنش رینولدز (RSM) و مدل شبیه سازی گرداب بزرگ (LES) برای حل مسئله هیدروسیکلون به کار برده شده است.

### ۳-۱-۱-۲- RNG k-ε مدل

مدل  $RNG$   $k-\epsilon$  در ساختار شبیه مدل  $k-\epsilon$  بوده، اما دارای اجزای اضافه‌ای برای ارزیابی بهتر نرخ اتلاف،  $\epsilon$ ، است. این مسئله باعث بهبود عملکرد این مدل در جریان‌هایی با شدت برش زیاد شده است. در مدل  $k-\epsilon$   $\tau_{ij}^{Re}$  به صورت رابطه ۴ بیان می‌شود:

$$\mu_t = \mu_{eff} - \mu \quad (14)$$

ویسکوزیته موثر با روابط ۱۵ تا ۱۷ بیان می‌شود:

$$\mu_{eff} = \mu [1 + H(x)]^{\frac{1}{3}} \quad (15)$$

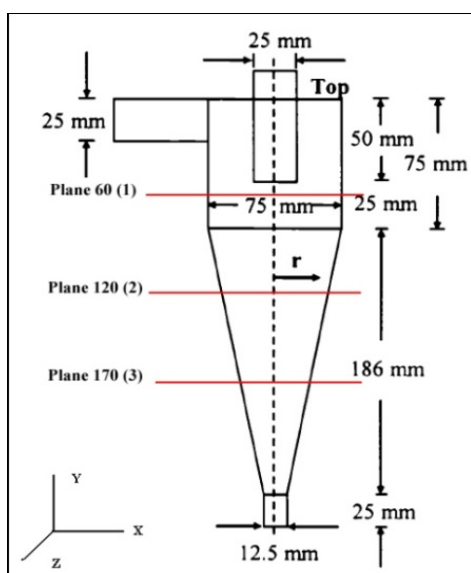
$$x = \frac{\mu_s^2 \mu_{eff}}{\mu^3} - C \quad (16)$$

$$\mu_s = \left( C_{RNG} V^{\frac{1}{3}} \right)^2 \sqrt{2 \bar{S}_{ij} \bar{S}_{ij}} \quad (17)$$

که در این روابط  $C$  برابر  $100$ ،  $V$  حجم سلول محاسباتی و  $\frac{\mu_s^2 \mu_{eff}}{\mu^3}$  تابع Heaviside  $H(x)$  است. زمانی که نسبت  $\frac{\mu_s^2 \mu_{eff}}{\mu^3}$  کمتر از  $C$  باشد، رفتار جریان مشابه جریان آرام است و ویسکوزیته آشفتگی برابر صفر می‌شود. زمانی که  $\frac{\mu_s^2 \mu_{eff}}{\mu^3}$  بزرگتر از  $C$  باشد، جریان آشفته است.

### ۳- نتایج

شکل ۲ هندسه و ابعاد واقعی هیدروسیکلون بررسی شده در این تحقیق را نشان می‌دهد. مطابق با این ابعاد نیز هیدروسیکلونی در مقیاس آزمایشگاهی ساخته شده است. همانگونه که از شکل مشخص است، قطر این هیدروسیکلون  $3$  اینچ است. صفحات انتخابی به ترتیب در فاصله‌های  $60$ ،  $120$  و  $170$  میلی‌متری از بالای هیدروسیکلون انتخاب شده‌اند.



شکل ۲: ابعاد هیدروسیکلون

### ۲-۱-۲- مدل RSM

در مدل تنش رینولدز (RSM) معادلات انتقال برای هر یک از مولفه‌های تنش رینولدز حل می‌شوند. معادله انتقال در رابطه  $10$  نشان داده شده است [۸].

$$\begin{aligned} \frac{\partial}{\partial t} (\rho \langle u'_i u'_j \rangle) + \frac{\partial}{\partial x_k} (\rho u_k \langle u'_i u'_j \rangle) = \\ \frac{\partial}{\partial x_k} \left( \frac{\mu_t}{\sigma_k} \frac{\partial \langle u'_i u'_j \rangle}{\partial x_k} \right) + \frac{\partial}{\partial x_k} \left( \mu \frac{\partial \langle u'_i u'_j \rangle}{\partial x_k} \right) - \\ \rho \left( \langle u'_i u'_k \rangle \frac{\partial \langle u_j \rangle}{\partial x_k} + \langle u'_i u'_k \rangle \frac{\partial \langle u_i \rangle}{\partial x_k} \right) - \rho \varepsilon \end{aligned} \quad (10)$$

### ۳-۱-۲- مدل LES

در مدل شبیه‌سازی گرداب بزرگ (LES)، حرکت گرداب‌های بزرگ حل شده و گرداب‌های کوچک مدل می‌شوند. سرعت  $(x, t)$ ،  $u$ ، با کمک یک عملگر فیلترینگ به صورت مجموع دو جزء حل شده (مقیاس‌های بزرگ)  $(\bar{u}, \bar{u}'(x, t))$ ، و باقیمانده (مقیاس‌های کوچک)  $(u'(x, t), u''(x, t))$  تقسیم می‌شود. نتیجه عملگر فیلترینگ بر معادلات ناویر-استوکس در رابطه‌های  $11$  و  $12$  نمایش داده شده است.

$$\frac{\partial \bar{u}_i}{\partial x_i} = 0 \quad (11)$$

$$\begin{aligned} \frac{\partial \bar{u}_i}{\partial t} + \frac{\partial (\bar{u}_i \bar{u}_j)}{\partial x_j} = - \frac{1}{\rho} \frac{\partial \bar{p}}{\partial x_i} + \frac{\partial}{\partial x_j} \left( \mu \frac{\partial \bar{u}_i}{\partial x_j} \right) - \\ \frac{\partial \tau_{ij}^{sgs}}{\partial x_j} + g_i \end{aligned} \quad (12)$$

این معادلات شامل تانسور تنش باقیمانده  $\tau_{ij}^{sgs}$  است؛ که شامل تمام اطلاعات مقیاس‌های کوچک و باقیمانده‌ها است و به صورت زیر نشان داده می‌شود:

$$\tau_{ij}^{sgs} \equiv -\mu_t \left( \frac{\partial \bar{u}_i}{\partial x_j} + \frac{\partial \bar{u}_j}{\partial x_i} \right) \quad (13)$$

مدل استاندارد برای  $\mu_t$  توسط اسماگرنسکی [۱۱] پیشنهاد شده که ویسکوزیته گرداب را به عرض فیلترینگ مرتبط می‌کند. ولی با این حال تاثیرات ویسکوزیته مولکولی را شامل نمی‌شود. ویسکوزیته آشفتگی به صورت اختلاف بین ویسکوزیته موثر و ویسکوزیته مولکولی بیان می‌شود.

۱۸۶۰۰ سلول وجود ندارد. اما با توجه به زمان محاسباتی بیشتر شبکه دارای ۱۸۶۰۰ سلول (۱۳ روز)، نسبت به شبکه ۷۶۰۰۰ سلول، ساختار شبکه‌بندی دوم به عنوان شبکه بهینه برای مطالعات بعدی استفاده شده است.

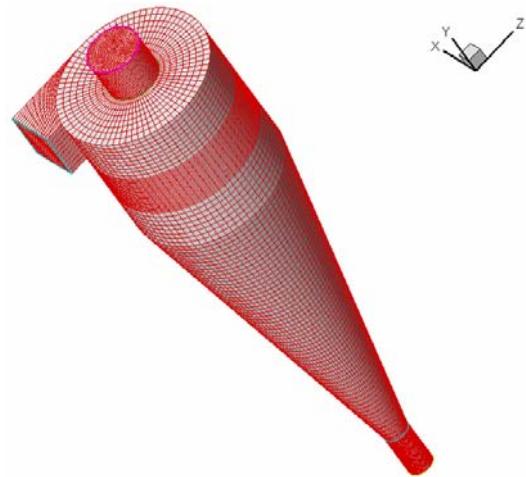
در این مقاله شرایط مرزی در مقطع ورودی به صورت سرعت معلوم و در مقطع خروجی به صورت فشار معلوم در نظر گرفته شده است. در دیواره شرط عدم لغش اعمال شده است. سیال عامل آب با چگالی  $998/2 \text{ Kg/m}^3$  و ویسکوزیتی  $0.001003 \text{ Kg/m.s}$  در نظر گرفته شده است. برای کوپل بین سرعت و فشار از الگوریتم Simple استفاده شده و روش PRESTO برای میانیابی فشار بکار رفته است [۱۲].

### ۲-۳- تخمین قطر ستون هوای مرکزی

ورودی مماسی هیدروسیکلون، باعث ایجاد جریان چرخشی سیال در آن می‌شود. این پدیده باعث ایجاد ناحیه کم فشاری در داخل هیدروسیکلون شده، که این مسئله باعث بوجود آمدن یک ستون هوای در داخل هیدروسیکلون می‌شود. در تشکیل ستون هوای مرکزی، توجه به شکل آن بسیار مهم است. زیرا این مسئله تأثیر مستقیمی بر تخمین تقسیم جریان بین سریز و تهریز دارد. با توجه به اینکه در این پژوهش جریان به صورت یک فازی حل شده است، می‌توان با در نظر گرفتن نقاطی که در آن‌ها فشار بسیار کم است، به تخمین قطر ستون هوای مرکزی پرداخت. به منظور تعیین توزیع فشار در داخل هیدروسیکلون، از سه مدل آشفتگی k-e، RSM، RNG و LES استفاده شده است. در شکل ۸ کانتورهای فشار برای سه مدل آشفتگی رسم شده است. با توجه به این شکل می‌توان گفت که در مدل k-e RNG این ناحیه کم فشار در قسمت‌های مخروطی هیدروسیکلون تشکیل نشده است و این مدل قادر به پیش‌بینی قطر ستون هوای مرکزی نیست. در دو مدل RSM و LES این ناحیه کم فشار در طول هیدروسیکلون تشکیل شده و قطر این ناحیه نیز تا قبل از رسیدن به سریز هیدروسیکلون تقریباً ثابت است.

برای پیش‌بینی قطر ستون هوای مرکزی علاوه بر صفحات ۱ و ۲ صفحه‌ای در فاصله  $170 \text{ mm}$  از بالای هیدروسیکلون (صفحه ۳) نیز در نظر گرفته شده است تا وضعیت ستون هوای در قسمت‌های پایینی بخش مخروطی هیدروسیکلون نیز مشخص شود. نتایج حاصل از پیش‌بینی قطر ستون هوای مرکزی با سه مدل آشفتگی در جدول ۱ نشان داده شده است. هسیه [۱۰]

در شکل ۳ نمونه‌ای از شبکه‌بندی استفاده شده در این پژوهش به تصویر کشیده شده است. در ایجاد این شبکه از نرم افزار Gambit استفاده شده است. المان‌های مکعبی در نواحی مختلف هندسه سیکلون شامل، سرریز، ته ریز و دو قسمت استوانه‌ای و مخروطی به کار برد شده است. همچنین برای دستیابی به دقت بیشتر از تکنیک تولید شبکه سازمان یافته برای تولید مشاهده مختلف استفاده شده است.



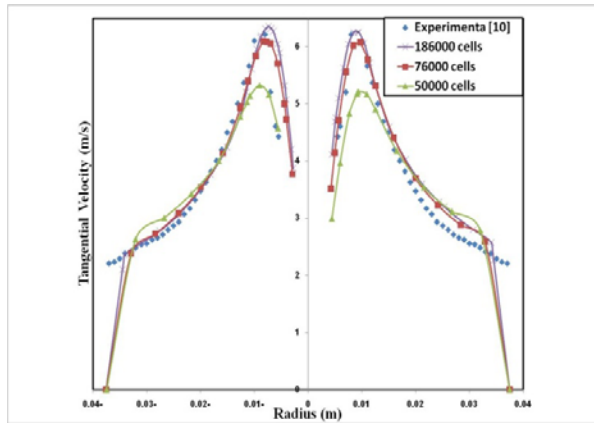
شکل ۳: نمونه‌ای از ساختار شبکه بندی شده

### ۳-۱- مطالعه شبکه و شرایط حل

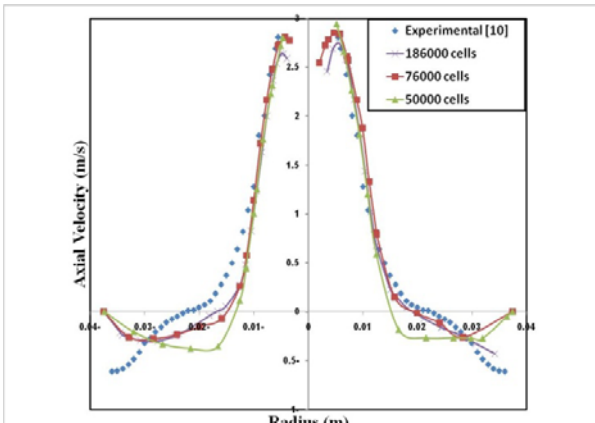
برای حصول اطمینان از اینکه نتایج به دست آمده مستقل از اندازه شبکه باشد، نیاز به بررسی شبکه است. برای این منظور، جریان داخل هیدروسیکلون به صورت غیردائم، با سه شبکه‌بندی مختلف که به ترتیب شامل ۵۰۰۰، ۷۶۰۰۰ و ۱۸۶۰۰۰ سلول است، مدل شده است. برای مطالعه شبکه از مدل آشفتگی RSM استفاده شده است. با توجه به پایداری و دقت در حل مسئله، گام زمانی  $5/00000$  ثانیه انتخاب و شبیه سازی برای مدت زمان ۱ ثانیه (تعداد تکرارها  $20000$ ) پس از ورود سیال انجام شده است. برای مطالعه شبکه از سرعت مماسی و محوری در مقاطعی در فاصله‌های  $60$  و  $120$  میلی‌متری از بالای هیدروسیکلون (صفحه‌های ۱ و ۲) استفاده شده است و نتایج، با داده‌های تجربی [۱۰] اعتبار سنجی شده‌اند. در شکل‌های ۴ تا ۷ نمودارهای سرعت محوری و مماسی در صفحات ۱ و ۲ برای هیدروسیکلون‌هایی با تعداد سلول‌های  $50000$ ،  $76000$  و  $186000$  نشان داده شده است. همانگونه که از شکل‌ها مشخص است، تفاوت چندانی بین نتایج حاصل از شبیه‌سازی برای شبکه‌های شامل  $76000$  و

ستون هوای مرکزی در تمام هیدروسیکلون با نتایج آزمایشگاهی تطابق خوبی دارد و این مدل در تعیین توزیع فشار و در نتیجه تخمین قطر ستون هوای مرکزی کارایی بالای دارد. در استفاده از مدل LES با اینکه ناحیه کم فشار در طول هیدروسیکلون ایجاد شده، ولی میزان خطا در تخمین قطر ستون هوای مرکزی زیاد است.

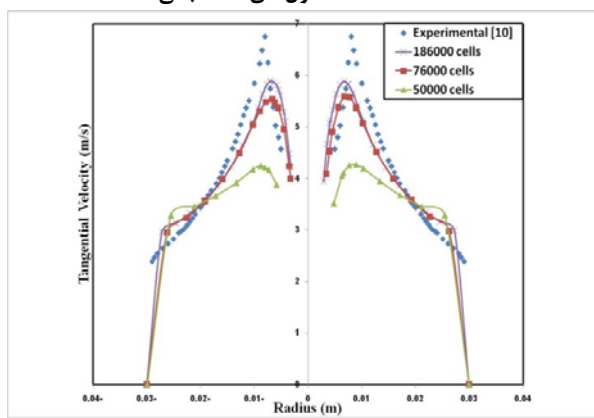
ستون هوای را در طول هیدروسیکلون ثابت در نظر گرفته و میزان قطر آن را  $101\text{ cm}$  گزارش کرده است. با توجه به جدول ۱ و همچنین کانتورهای فشار مشخص است که مدل آشفتگی  $k-\epsilon$  RNG قادر به پیش‌بینی ستون هوای مرکزی نیست. تنها در قسمت لوله پیدا کننده گرداب ناحیه کم فشاری ایجاد شده است. در استفاده از مدل RSM پیش‌بینی قطر



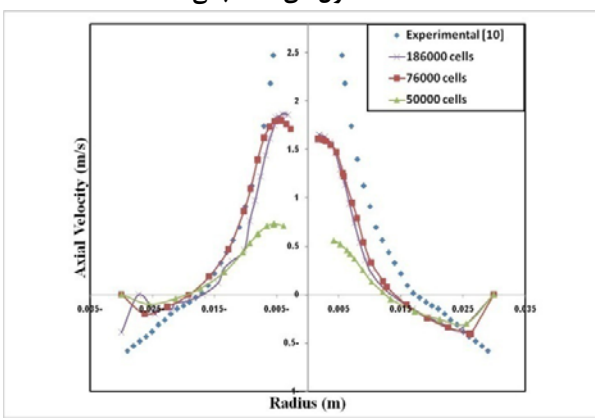
شکل ۵: توزیع مولفه مماسی سرعت در صفحه ۱ برای سه مقدار مختلف تعداد سلول‌های محاسباتی



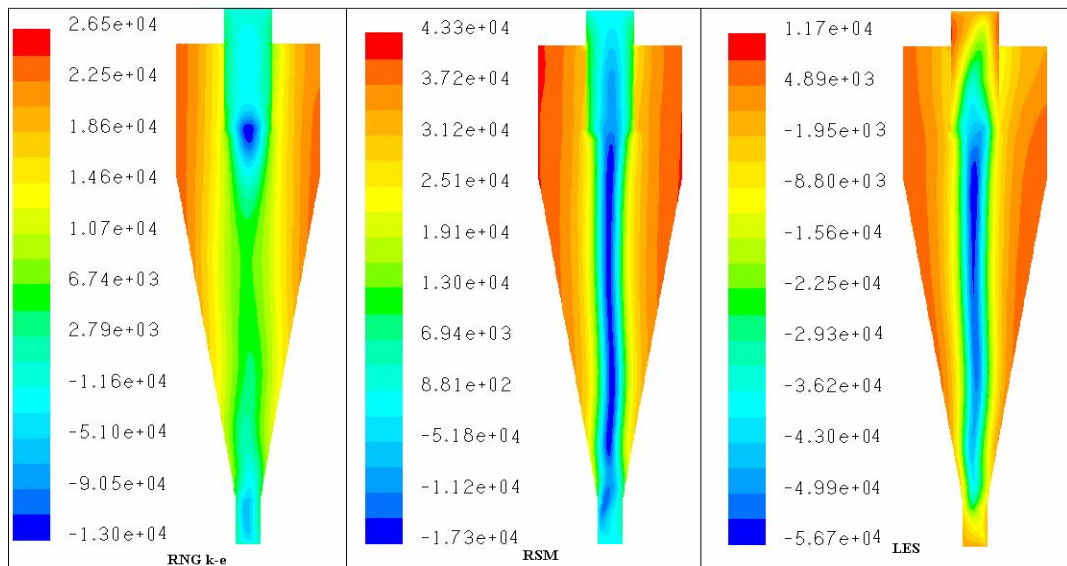
شکل ۶: توزیع مولفه محوری سرعت در صفحه ۱ برای سه مقدار مختلف تعداد سلول‌های محاسباتی



شکل ۷: توزیع مولفه مماسی سرعت در صفحه ۲ برای سه مقدار مختلف تعداد سلول‌های محاسباتی



شکل ۸: توزیع مولفه محوری سرعت در صفحه ۲ برای سه مقدار مختلف تعداد سلول‌های محاسباتی



شکل ۸. کانتورهای فشار در هیدروسیکلون برای سه مدل آشفتگی

جدول ۱: نتایج پیش‌بینی قطر ستون هوا مرکزی با سه مدل آشفتگی

پیش‌بینی شده			قطر ستون هوا مرکزی (m)
صفحه ۳	صفحه ۲	صفحه ۱	
.	.	۰/۰۱۳	RNG k-ε
۰/۰۰۸	۰/۰۰۹	۰/۰۱۱	RSM
۰/۰۲۹	۰/۰۳۲	۰/۰۳۶	LES

- [2] Wills, Barry A.; 1997; "Mineral Processing Technology, An Introduction to the practical aspects of ore treatment and mineral processing", Butterworth Heinemann.
- [3] Bradley, D.; 1965; "The Hydrocyclone" London Pergamon Press.
- [4] Hesih, K.T.; Rajamani, R.K.; 1988; "Phenomenological model of hydrocyclone: model development and verification for single phase flow", Journal of Mineral Processing, Vol. 22, pp. 223-237.
- [5] Monderdon, T.C.; Hsieh K.T.; Rajamani R.K.; 1992; "Fluid flow model of the hydrocyclone: an investigation of device dimension", International Journal of Mineral Processing, Vol 35, pp. 65-83.
- [6] Rajamani R.K.; Devulapalli B.; 1994; "Hydrodynamics modelling of swirling flow and particle classification in large scale hydrocyclone", KONA Powder and Particle, Vol. 1, pp. 95-103.

#### ۴- نتیجه‌گیری

در این پژوهش با استفاده از روش دینامیک سیالات محاسباتی، قطر ستون هوا مرکزی در یک هیدروسیکلون با استفاده از نقاطی با فشار بسیار کم تخمین زده شده است. بدین منظور از سه مدل آشفتگی RNG k-ε و RSM و LES در غالب نرم افزار Fluent استفاده شده است. نتایج حاصل از این کار نشان می‌دهد که دو مدل RNG k-ε و LES در تخمین ستون هوا مرکزی چندان موفق نبوده‌اند؛ در حالیکه مدل RSM در هر سه منطقه مورد بررسی (صفحه های ۱، ۲ و ۳) قدر ستون هوا را به ترتیب ۰/۰۱۱، ۰/۰۰۹ و ۰/۰۰۸ متر پیش‌بینی کرده است که در مقایسه با نتیجه آزمایشگاهی آن ۰/۰۰۷ متر نتیجه قابل اعتمادی است.

#### منابع

- [1] Bergstrom, J.; 2006; "Flow Field and Fibre Fraction Studies in Hydrocyclones", Stockholm, Sweden, Royal Institute of Technology.

- [10] Hsieh, K.T.; 1988; "A phenomenological model of the hydrocyclone", Ph.D. thesis, University of Utah.
- [11] Smagorinsky, J.; 1963; "General circulation experiments with the primitive equations: I. the basic experiments." Monthly Weather Review 91, pp. 99-164.
- [12] Fluent In0c; 2009; "Fluent 6.3 Documentation", <http://my.fit.edu/itresources/manuals/fluent6.3/help/index.htm>
- [7] Dyakowski T.; Williams R.A.; 1995; "Prediction of air-core size and shape in a hydrocyclone", International Journal of Mineral Processing, Vol. 43, pp. 1-14.
- [8] Delgadillo, Jose A.; Rajamani, R.K.; 2005; "A Comparative study of three turbulence-closure models for the hydrocyclone problem", Utah Int. J. Miner. Process, Elsevier, Vol 77, pp-217-230.
- [9] Gupta, R.; Kaulaskar, M.D.; Kumar, V.; Sriprya, R.; Meikap, B.C.; Chakraborty, S.; 2008; "Studies on the understanding mechanism of air core and vortex formation in a hydrocyclone", Chemical Engineering Journal, Vol. 144, pp. 153-166.

### پی‌نوشت

- 
- <sup>1</sup> Air Core  
<sup>2</sup> Computational Fluid Dynamics  
<sup>3</sup> Hsieh  
<sup>4</sup> Rajamani  
<sup>5</sup> Monderon  
<sup>6</sup> Devulapalli  
<sup>7</sup> Turbulence  
<sup>8</sup> Dyakowski  
<sup>9</sup> Williams  
<sup>10</sup> Delgadillo  
<sup>11</sup> Volume of Fluid  
<sup>12</sup> Gupta  
<sup>13</sup> Renormalization group k-ε  
<sup>14</sup> Reynolds stress model  
<sup>15</sup> Large eddy simulation